

**З.Ф. Томашик, О.С. Чернюк^{*}, В.М. Томашик,
В.І. Гриців^{*}, Н.В. Кусяк^{*}**

ХІМІКО-ДИНАМІЧНЕ ПОЛІРУВАННЯ GaAs ТА GaSb ТРАВИЛЬНИМИ СУМІШАМИ СИСТЕМ $\text{HNO}_3\text{—HCl}$ —РОЗЧИННИК

У відтворюваних гідродинамічних умовах досліджено механізм та кінетику хімічної взаємодії GaAs та GaSb з розчинами систем $\text{HNO}_3\text{—HCl—H}_2\text{O}$ (ацетатна, цитратна кислота). Визначено основні закономірності хімічного травлення вказаних напівпровідникових матеріалів і побудовано поверхні однакових швидкостей розчинення. З'ясовано вплив вмісту компонентів травильних композицій на швидкість і якість полірування поверхні зразків GaSb та GaAs та визначено концентрації межі розчинів, що можуть бути використані для хіміко-динамічного полірування поверхні зразків GaSb і GaAs.

ВСТУП

Для передпланарної та передепітаксійної обробки напівпровідників з метою отримання полірованої поверхні заданої товщини, очищеної від забруднень та оксидів, використовується хіміко-динамічне полірування (ХДП). Ефективне застосування цього методу на різних етапах виготовлення підкладок можливе тільки за умови розробки травильників з прогнозованою швидкістю знімання матеріалу, шорсткістю поверхні та деякими іншими параметрами.

Для хімічної обробки напівпровідникових сполук типу $\text{A}^{\text{III}}\text{B}^{\text{V}}$ використовують травильні композиції на основі хлоридної кислоти. Було встановлено, що розчини системи $\text{HNO}_3\text{—HCl}$ з об'ємною часткою хлоридної кислоти 50–90 % можуть бути основою травильників для ХДП InAs та InSb [1]. При цьому процес розчинення індійарсеніду лімітується дифузійними стадіями, а процес розчинення індійстибіду — кінетичними [1].

При хімічному травленні поверхні (001) GaAs через маску SiO_2 в розчинах складу 0,5 ч. HCl + 0,5 ч. HNO_3 + 1 ч. H_2O було одержано високоякісну поверхню без ямок травлення [2]. В розчинах кислот HCl та HNO_3 швидкість розчинення GaAs має низькі значення і практично не залежить від їх концентрації [3]. У праці [4] для обробки GaAs запропоновано використовувати полірувальні розчини складів 1 ч. HNO_3 + 1 ч. HCl та 1 ч. HNO_3 + 3 ч. HCl + 1 ч. H_2O .

Інфрачервоні спектри поглинання анізотропно травленого GaAs в травильниках на основі HNO_3 дали змогу встановити, що на поверхні зразків утворюється As_2O_3 , а іони галію переходят у розчин. На поверхні InSb за тих самих умов утворюється оксид Sb_2O_3 [5]. У праці [6] методом рентгенофотоемісійної спектроскопії досліджено поверхневий шар GaAs і показано, що вміст галію в ньому після обробки в кислих розчинах зменшується. Розчини системи $\text{HBr}\text{—HCl}\text{—HNO}_3\text{—CH}_3\text{COOH}$ можна застосовувати при підготовці підкладок для молекулярно-променевої епітаксії [7], при цьому ацетатна кислота розчиняє галогеніди та оксиди Ga і Sb, що утворюються унаслідок травлення на поверхні.

Аналіз літературних даних свідчить про перспективність використання розчинів системи $\text{HNO}_3\text{—HCl}$ для формування на їх основі різноманітних травильних композицій. Метою даної роботи є систематичне дослідження хімічної взаємодії GaAs та GaSb з розчинами

систем HNO_3 — HCl — розчинник для формування на їх основі травильників для ХДП, причому розчинником утворюваних на поверхні продуктів взаємодії обрано воду та ацетатну і цитратну кислоти.

МЕТОДИКА ЕКСПЕРИМЕНТАЛЬНИХ ДОСЛІДЖЕНЬ

Для експериментального дослідження кінетики та механізму хімічної взаємодії GaAs та GaSb з розчинами систем HNO_3 — HCl — H_2O (ацетатна, цитратна кислота) використовували зразки галійарсеніду та галістибіду напівпровідникової чистоти. Вимірювання здійснювали на пластинах площею поверхні $0,5$ — $0,6 \text{ см}^2$ та товщиною 2 — $2,5 \text{ мм}$. Розчини травильних композицій готували, змішуючи 70% -ну HNO_3 марки «ос. ч.», 35% -ну HCl , 100% -ну ацетатну та 18% -ну цитратну кислоти (всі марки «хч»).

Концентраційну залежність швидкості травлення вивчали за відтворюваних гідродинамічних умов при 20°C з використанням диску, що обертається зі швидкістю 110 хв^{-1} , згідно з методикою, наведеною в [1]. Стан поверхні після хімічного травлення контролювали за допомогою універсального мікроскопу з цифровою відеокамерою при збільшенні від 25 до 1600 , а шорсткість полірованої поверхні вимірювали на профілометрі ДЕКТАК 3030 AUTO II.

РЕЗУЛЬТАТИ ЕКСПЕРИМЕНТУ

Поверхні однакових швидкостей травлення GaSb та GaAs в розчинах систем HNO_3 — HCl — H_2O (ацетатна, цитратна кислота) будували за результатами експериментальних вимірювань з використанням математичного планування експерименту на симплексах (рівняння регресії четвертої степені). Області співвідношень вихідних компонентів, що використовувалися при дослідженні хімічної взаємодії травильних композицій з GaSb та GaAs, зображені на рис. 1. Як видно з отриманих діаграм Гіббса (рис. 2, 3), швидкості розчинення досліджуваних матеріалів досягають 90 мкм/хв , а поверхні однакових швидкостей розчинення подібні між собою. З'ясовано, що збільшення вмісту розчинника в складі травильника призводить до зменшення швидкості розчинення GaSb та GaAs. Мінімальні значення швидкостей розчинення знаходяться в області, збагачений розчинником, а максимальні при об'ємному співвідношенні $\text{HNO}_3 : \text{HCl} = 1 : 1$ та мінімальному вмісті органічної кислоти і води — поблизу сторони АС концентраційного трикутника. Винятком є взаємодія GaSb з розчинами системи HNO_3 — HCl —ацетатна кислота, коли склади травильних композицій з максимальними

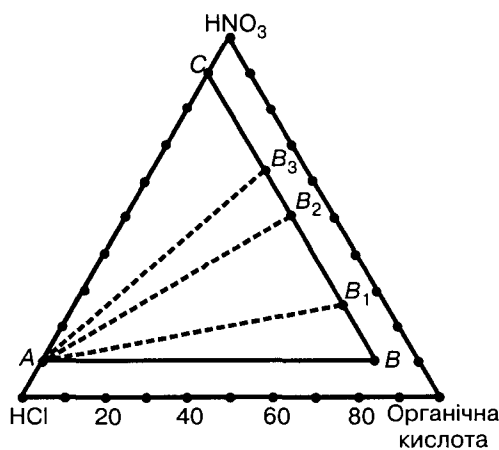


Рис. 1. Співвідношення $\text{HNO}_3 : \text{HCl} : \text{H}_2\text{O}$ (ацетатна, цитратна кислота) у вершинах A , B (B_1 , B_2 , B_3) і C при дослідженні залежності швидкості травлення, в об'ємних частках, %: $A = 10 : 90 : 0$; $B = 10 : 10 : 80$; $B_1 = 30 : 10 : 60$; $B_2 = 50 : 10 : 40$; $B_3 = 60 : 10 : 30$; $C = 90 : 10 : 0$

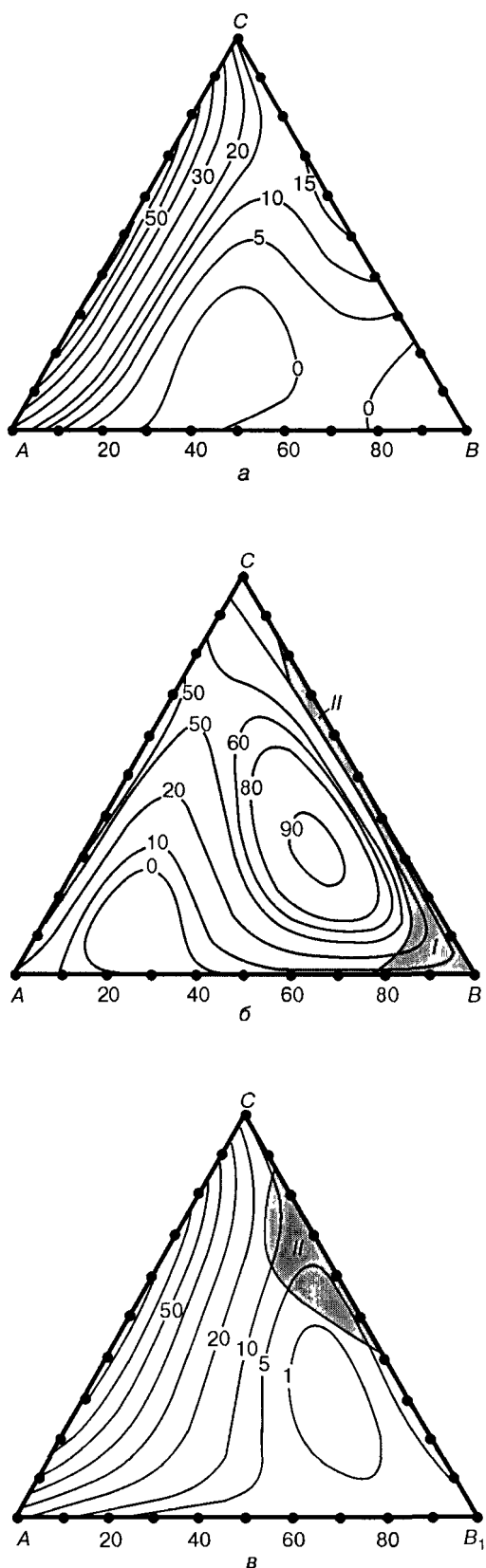


Рис. 2. Поверхні однакових швидкостей травлення ($\mu\text{мм}/\text{хв}$) GaSb в розчинах систем $\text{HNO}_3-\text{HCl}-\text{H}_2\text{O}$ (а), HNO_3-HCl —ацетатна кислота (б), HNO_3-HCl —цитратна кислота (в): I — область полірувальних травильних композицій; II — склади розчинів, які утворюють дзеркальну поверхню після зняття утворених плівок

швидкостями розчинення збагачені ацетатною кислотою. Збільшення вмісту HNO_3 , яка є сильним окисником і пасивує поверхню GaSb і GaAs продуктами окислення стибію та арсену, призводить до збільшення інтенсивності утворення плівок на поверхні зразків.

Експериментальні дослідження дозволили встановити, що для ХДП галійстибіду практичний інтерес представляють розчини з об'ємною часткою складових, %: (10—30) HNO_3 + (0—10) HCl + (60—80) CH_3COOH , при цьому швидкість травлення знаходитьться в межах 3—20 $\mu\text{мм}/\text{хв}$ (рис. 2, б, область I). Для хімічного полірування зразків GaAs можна використовувати розчини з об'ємною часткою складових, %: (20—25) HNO_3 + (30—50) HCl + (30—45) CH_3COOH (рис. 3, б, область I). В травильних сумішах з об'ємною часткою складових, %: (50—70) HNO_3 + (0—10) HCl + (20—40) ацетатної або цитратної кислоти (рис. 2, б, в, область II) хімічна обробка призводить до утворення на поверхні зразків GaSb пасивуючих плівок сірого кольору, які легко знімаються при зануренні зразка на 2 с у розчин складу 3 ч. HNO_3 + 7 ч. HCl , при цьому поверхня набуває дзеркального вигляду.

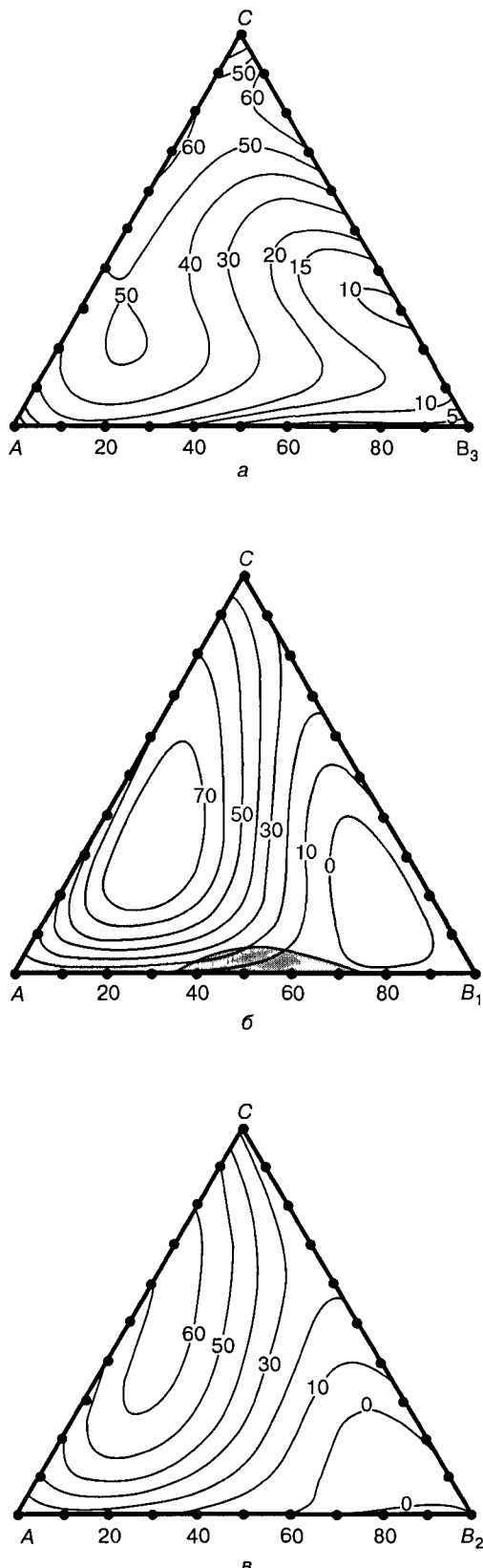
Для поліруючих розчинів з об'ємною часткою складових, %: 30 HNO_3 + 30 HCl + 40 CH_3COOH (розчин I); 30 HNO_3 + 10 HCl + 60 CH_3COOH (розчин 2); 55 HNO_3 + 20 HCl + 25 цитратної кислоти (розчин 3) та 25 HNO_3 + 60 HCl + 15 цитратної кислоти (розчин 4) досліджені кінетичні закономірнос-

Рис. 3. Поверхні однакових швидкостей травлення ($\mu\text{мм}/\text{хв}$) GaAs в розчинах систем $\text{HNO}_3-\text{HCl}-\text{H}_2\text{O}$ (а), $\text{HNO}_3-\text{HCl}-$ ацетатна кислота (б), $\text{HNO}_3-\text{HCl}-$ цитратна кислота (в)

ті процесу хімічного травлення GaSb та GaAs, що дало можливість визначити механізми лімітування процесу розчинення. Залежності швидкості розчинення досліджуваних напівпровідникових матеріалів від частоти обертання диска наведені на рис. 4. Видно, що травлення GaSb проходить за кінетичним механізмом, оскільки відповідні прямі паралельні осі абсцис, а для розчинення GaAs характерний змішаний механізм лімітування процесу розчинення, оскільки пряма 4 утворює кут з віссю абсцис та відсікає відрізок на осі ординат.

З результатів дослідження температурних залежностей швидкості розчинення в тих же сумішах розчинів розраховані значення уявної енергії активації (E_a), які становлять відповідно 176 (розчин 1), 3,2 (розчин 2), 73,4 (розчин 3) та 31,2 кДж/моль (розчин 4). Оскільки при $E_a < 40$ кДж/моль процес лімітується дифузійними стадіями, а при $E_a > 40$ кДж/моль — кінетичними, можна зробити висновок, що розчинення анти-монідугалію в розчинах 1 та 3 характеризується кінетичним механізмом. У випадку розчину 2 можлива часткова пасивація поверхні при підвищенні температури травильної композиції, і саме цим може бути зумовлено низьке значення уявної енергії активації. Для травлення GaAs в розчині 4 характерний змішаний механізм розчинення при домінуванні дифузійних процесів.

Унаслідок проведення експериментальних досліджень з'ясо-



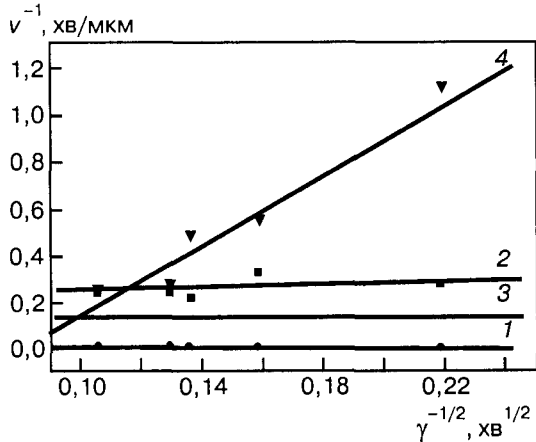


Рис 4 Залежність швидкості розчинення GaSb (1, 2, 3) та GaAs (4) від швидкості обертання диска при $T = 293$ К для розчинів з об'ємною часткою складових, % 1 — 30 HNO₃, 30 HCl, 40 ацетатної кислоти, 2 — 30 HNO₃, 10 HCl, 60 ацетатної кислоти, 3 — 55 HNO₃, 20 HCl, 25 цитратної кислоти, 4 — 25 HNO₃, 60 HCl, 15 цитратної кислоти

вано, що процес ХДП поверхні зразків GaAs та GaSb необхідно проводити при 293 К та швидкості обертання диска 85—110 xv⁻¹, а потім промивати їх декілька разів дистильованою водою та висушувати на повітрі.

ВИСНОВКИ

Досліджено кінетику процесів розчинення GaSb та GaAs в травильних композиціях систем HNO₃—HCl—H₂O (ацетатна, цитратна кислота). З'ясовано, що швидкість полірування залежить від складу поліруючих травильників і може змінюватися в інтервалі від 3 до 20 мкм/хв. Невеликі швидкості розчинення, імовірно, зумовлені частковою пасивацією поверхні при утворенні на ній продуктів хімічної взаємодії напівпровідникового матеріалу з травильником. Оптимізовані склади травильних сумішей пропонується застосовувати для ХДП галій-арсеніду та галійстибіду.

- 1 Томашик З Ф, Даниленко С Г, Томашик В Н Растворение арсенида и антимонида индия в растворах HNO₃—HCl // Оптоэлектроника и полупроводниковая техника — Киев Наук думка, 1999 — Вып 34 — С 60—65
- 2 Adachi Sadao, Kunishige Oe Chemical Etching Characteristics of (001) GaAs // J Electrochem Soc — 1983 — 130, N 12 — P 2427—2435
- 3 Hsieh H F, Shih H C The electrochemical nature of GaAs in acids a comparison with InP // J Electrochem Soc — 1991 — 138, N 7 — P 1965—1970
- 4 Фост Дж Травление соединений типа A^{III}B^V // Травление полупроводников — М Мир, 1965 — С 202—204
- 5 Горбач Т Я, Котова Н В, Пидлісний Е В Структура оксидов на поверхностях анизотропно-травленых полупроводников // Оптоэлектроника и полупроводниковая техника — Киев Наук думка, 1990 — Вып 18 — С 22—25
- 6 Іващук А В Хімічне травлення поверхні арсеніду галію перед нанесенням металізації омічних контактів // Фізика і хімія твердого тіла — 2001 — 2, № 1 — С 125—130
- 7 Silga M, Da Silva F W O, Raisin C, Lassabatere L Preparation chimique des substrats GaSb (100) en vue de l'epitaxie // Vide, couches minces — 1988 — 43, N 24 — P 163—164

НАЦИОНАЛЬНАЯ
АКАДЕМИЯ НАУК
УКРАИНЫ

ИНСТИТУТ
ФИЗИКИ
ПОЛУПРОВОДНИКОВ
им. В.Е. ЛАШКАРЕВА

ОТДЕЛЕНИЕ
ОПТОЭЛЕКТРОНИКИ

**О ПТОЭЛЕКТРОНИКА
и
ПОЛУПРОВОДНИКОВАЯ
ТЕХНИКА**

**O PTOELECTRONICS
and
SEMICONDUCTOR
TECHNICS**

КІЕВ
НАУКОВА ДУМКА
2005

МЕЖВЕДОМСТВЕННИЙ СБОРНИК НАУЧНИХ ТРУДОВ
ОСНОВАН В 1982 г.

ВЫПУСК 40

СОДЕРЖАНИЕ

Каганович Э.Б., Манойлов Э.Г., Свечников С.В., Злобин С.А. Видимая фотoluminesценцияnanoструктур на основе кремния, углерода и карбида кремния (обзор).....	5
Баранський П.І., Гайдар Г.П., Долголенко О.П., Литовченко П.Г. Електрично малоактивні домішки і проблема надвисокої чистоти напівпровідниківих матеріалів Si і Ge (огляд)	34
Власенко А.И., Гасан-заде С.Г., Сальков Е.А., Шепельский Г.А. Особенности фотопроводимости узкощелевых полупроводников A_2B_6 (обзор)	47
Каганович Э.Б., Манойлов Э.Г., Свечников С.В. Ёмкостные свойства структур с низкоразмерным кремнием (обзор).....	61
Евтух А.А., Клюй Н.И., Литовченко В.Г., Семененко Н.А., Неселевская Л.В. Улучшение эмиссионных свойств пористого кремния при покрытии тонкой алмазоподобной углеродной пленкой	81
Лысенко В.С., Тягульский И.П., Назаров А.Н., Осиюк И.Н., Гоменюк Ю.В. Исследования термостимулированной полевой эмиссии в структурах SIMOX при криогенных температурах	88
Власенко О.І., Власенко З.К., Курило І.В., Рудий І.О. Флуктуації складу, викикані механічними пошкодженнями поверхні кристалів CdTe	96
Власенко А.И., Власенко З.К., Курило И.В., Рудый И.А. Влияние локальных поверхностных деформаций подложки CdTe на структуру и состав эпитаксиальных слоев CdHgTe в начальных стадиях их роста	101

<i>Камуз А.М., Олексенко П.Ф., Камуз О.А., Камуз В.Г.</i> Микросенсор на несимметричном нерегулярном волноводе	106
<i>Власенко Н.А., Олексенко П.Ф., Велігуря Л.І., Денисова З.Л., Кононець Я.Ф., Кладько В.П., Циркунов Ю.Я., Горонескуль В.Ю.</i> Електролюмінесцентний сенсор рентгенівського випромінювання	113
<i>Асніс Ю.А., Баранський П.І., Бабич В.М., Заболотін С.П., Скороход М.Я.</i> Проблеми, пов'язані з отриманням надчистих від легуючих і залишкових домішок кристалів Si за умов мікрогравітації	120
<i>Кукла А.Л., Гринько Д.А., Павлюченко А.С., Котляр В.А., Барабаш Ю.М.</i> Хеморезисторы на основе нанокомпозитных золотоорганических пленок	127
<i>Бурлаченко Ю.В., Снопок Б.А.</i> Управление адсорбционно-десорбционными процессами на поверхности химических сенсоров на основе фоточувствительных пленок фталоцианинов	136
<i>Бойко В.Г., Гурьянов С.Н., Заяц Н.С., Мухльо М.А.</i> Отработка технологии получения оксидных пленок для различных структур оптоэлектронники на промышленной установке магнетронного типа «Катод-1М»	143
<i>Павелец С.Ю., Стадник А.А., Мищук О.А., Павелец А.М.</i> Многослойные вариационные фотоэлектрические преобразователи для ультрафиолетовой фотоэлектроники	149
<i>Матяш И.Е., Сердега Б.К.</i> Особенности поляризационно-модуляционной диагностики диэлектрической анизотропии материалов	155
<i>Томашик З.Ф., Чернюк О.С., Томашик В.М., Гриців В.І., Кусяк Н.В.</i> Хіміко-динамічне полірування GaAs та GaSb травильними сумішами систем HNO ₃ —HCl—розвчинник	162
<i>Серіцан О.В., Фейчук П.І., Томашик В.М., Щербак Л.П., Копач О.В.</i> Взаємодія телуридів індію з кадмієм	167
<i>Христосенко Р.В., Хоруженко В.Ю., Костюкевич Е.В., Самойлов А.В., Самойлова И.А., Ширшов Ю.М.</i> Анализ изменения цвета тонких пленок как основа построения интерференционных газовых сенсоров	172
<i>Маркевич И.В., Кушниренко В.И., Борковская Л.Ю., Хоменкова Л.Ю.</i> «Остаточные» доноры в оксиде цинка: природа и влияние на свойства кристаллов	179
<i>Яганов П.О.</i> Оптоелектронні ключові термоперетворювачі на кремнієвій структурі з діелектричною ізоляцією	190
<i>Гринько Д.О., Курдюков В.В., Мужичок О.О.</i> Дослідження кінетики сублімації полярних органічних молекулярних сполук	195
<i>Дзян А.С., Евтух А.А., Семененко Н.А.</i> Предварительные активирующие обработки поверхности в процессе плазмохимического травления кремния и его соединений	204
<i>Рогозін І.В.</i> Власно-дефектна та домішкова люмінесценція нітриду галію	215
<i>Лысюк И.А., Голенков А.Г., Забудский В.В., Сизов Ф.Ф., Бунчук С.Г.</i> Определение температурного диапазона функционирования ИК-линеек (10 мкм) фотодиодов Cd _{0,22} Hg _{0,78} Te	223
<i>Литвинова М.Б., Штанько А.Д.</i> Формирование механических напряжений в монокристаллах полуизолирующего нелегированного арсенида галлия в результате высокотемпературного отжига	228
<i>Кретулис В.С., Минакова И.Е., Олексенко П.Ф.</i> Коррекция погрешности измерительного канала автоматизированных информационно-измерительных средств контроля параметров диодных и транзисторных оптронов	234
<i>Сукач А.В., Тетеркин В.В., Попович В.Д.</i> Влияние неоднородного распределения примеси хлора на механизмы переноса заряда в полуизолирующих кристаллах теллурида кадмия, полученных из паровой фазы	240
<i>Сукач А.В., Олейник Г.С., Тетеркин В.В., Ворощенко А.Т., Лукьяненко В.И., Нужная Т.П.</i> Исследование механизмов переноса заряда в диффузионных InAs p-n-переходах	248
<i>Власкина С.И., Родионов В.Е., Свечников Г.С.</i> Высокоэффективные солнечные элементы на основе арсенида галлия (обзор)	258